

OSCAR Fortran マルチグレインコンパイラ

吉田明正† 岡本雅巳† 合田憲人† 尾形航† 本多弘樹‡ 笠原博徳†

†早稲田大学理工学部 ‡山梨大学工学部

本論文では、ループ・サブルーチン等のような粗粒度タスクの並列処理を行うマクロデータフロー処理、Doall, Doacross 等を用いたイタレーションレベルの中粒度並列処理を行うループ並列化、基本ブロック・シーケンシャルループをステートメントレベルの細粒度タスクを用い処理する細粒度並列処理を階層的に組み合わせ、プログラム全体の並列性を効果的に使用するマルチグレイン並列化コンパイラについて述べる。特に、本論文では、マクロデータフロー処理を中心に、マクロタスク分割・融合、階層的マクロデータフロー処理手法について述べる。本マルチグレイン並列化コンパイラは、マルチプロセッサシステム OSCAR 上でインプリメントされており、その性能評価についても述べる。

OSCAR Fortran Multi Grain Parallelizing Compiler

Akimasa YOSHIDA† Masami OKAMOTO† Kento AIDA† Wataru OGATA†
Hiroki HONDA‡ Hironori KASAHIKA†

†Waseda University ‡Yamanashi University

This paper describes multi grain parallelizing compiler, which exploits parallelism in a Fortran program effectively by macro-dataflow computation, loop concurrentization, and fine grain parallelization. In this compiler, coarse grain tasks such as loops, subroutines and basic blocks are processed on processor clusters by using macro-dataflow technique. A macrotask assigned to a processor cluster is processed on processors inside the cluster by using loop concurrentization techniques like do-all and do-across, near fine grain parallelization technique which exploits parallelism among statements inside a basic block, or hierarchical macro-dataflow technique.

1 はじめに

マルチプロセッサシステム上における Fortran プログラムの並列処理では、Doall, Doacross 等のループ並列化（中粒度タスクの並列処理）[1][2] が従来より広く用いられている。最近のデータ依存解析 [3] とプログラムリストラクチャリング技術 [2] の進歩により、多くのタイプの Do ループが並列化できるようになっている。しかし、イタレーション間にまたがる複雑なデータ依存（Loop carried dependence）や、ループ外への条件分岐に起因し、ループ並列化が適用できないシーケンシャルループも依然存在する。また、ループ以外の部分の並列性、例えば基本ブロック [4] 内部の並列性や、サブルーチン、ループ、及び基本ブロック間の並列性を効果的に抽出することができなかった。従って、シーケンシャルループや基本ブロック内部の細粒度並列性やループ、サブルーチン及び基本ブロック間の粗粒度並列性を抽出することが今後のマルチプロセッサシステム用自動並列化コンパイラの重要な課題である。

筆者らは、すでに、マクロデータフロー処理と呼ぶ粗粒度並列処理手法を実現するために、Fortran プログラムからのマクロタスク定義手法、及び最早実行可能条件を用いた粗粒度並列性の自動的抽出手法 [5] を提案してきた。また、細粒度並列処理に関しては、ステートメント程度の細粒度タスクを、データ転送オーバーヘッドを考慮したスタティックスケジューリングアルゴリズムを用いて、プロセッサへ割り当て処理を行う細粒度並列処理手法 [6][14] を提案している。

本論文では、粗粒度並列処理（マクロデータフロー処理）、中粒度並列処理（ループ並列化）および細粒度並列処理を階層的に組み合わせたマルチグレイン並列処理について述べる。このマルチグレインコンパイラは、まず、Fortran プログラムをマクロタスクと呼ぶ粗粒度タスクに分割し、それらの間の並列性を条件分岐（制御依存）とデータ依存を考慮して最早実行可能条件の形で抽出する。次に、マクロタスクをプロセッサあるいはプロセッサクラスタに実行時に割り当てるためのダイナミックスケジューリングコードを生成する。このコンパイラにより生成されたダイナミックスケジューリングコードの利用により、従来問題となっていた OS コールなどによる大オーバーヘッドは生じなくなる。また、プロセッサクラスタに割り当てられたマクロタスクは、そのプロセッサクラスタを構成する複数プロセッサで、ループ並列化や細粒度並列処理手法を用いて階層的に並列処理される。

第 2 章では、マルチグレイン並列処理手法、特に、マクロデータフロー処理におけるマクロタスクの分割・融合手法 [7]、ループやサブルーチン内部でマクロデータフロー処理を階層的に利用する階層的マクロデータフロー処理 [8] について述べる。また、第 3 章では、本手法をインプリメントしたマルチプロセッサシステム OSCAR [9] のアーキテクチャを紹介し、第 4 章では、OSCAR 上で行ったマルチグレイン処理手法の性能評価について述べる。

2 マルチグレイン並列処理

マルチグレインの並列化コンパイルーションでは、マクロデータフロー処理、ループ並列化、細粒度並列処理の 3 つの技術が重要になる。ただし、ループ並列化に関しては、従来から多く研究されており、すでに市販マルチプロセッサシステム上でも一般的なものとなっているので、本章では、主に、マクロデータフロー処理、および細粒度並列処理に関するコンパイルーション手法について述べる。

2.1 マクロデータフロー処理

本節では、Fortran プログラムのマクロデータフロー処理について概説する。

2.1.1 マクロタスク生成

本マクロデータフローコンパイルーション手法では、Fortran プログラムをマクロタスクと呼ぶ並列処理単位に分割する。この時マクロタスクの粒度は、並列実行時の各マクロタスクの処理時間、プロセッサ間データ転送オーバーヘッド、同期オーバーヘッド、スケジューリングオーバーヘッドを考慮して適切に決められねばならない。ここでは、マルチプロセッサシステム OSCAR 上での上記オーバーヘッドの大きさを考慮して、擬似代入文ブロック（Block of Pseudo Assign Statements : BPA），繰り返しブロック（Repetition Block : RB），サブルーチンブロック（Subroutine Block : SB）の 3 種類のマクロタスクを生成する。ここで、BPA は基本的には通常の基本ブロックであるが、基本ブロックの処理時間が短い場合は、複数の基本ブロックを融合し、BPA を生成する。RB は最外側ナチュラルループ [4] である。また、サブルーチンに関しては、基本的に可能な限りインライン展開を適用するが、コード長が長くなり過ぎ、効果的にインライン展開できない場合には、そのサブルーチンをマクロタスク（SB）として定義する。

ただし、上述のマクロタスク定義では、十分に並列性が引き出せない場合あるいは粒度が細かすぎてスケジューリングやデータ転送オーバーヘッドが相対的に大きくなってしまう場合がありえる。そこで、本手法ではマクロタスクを再分割し、マクロタスク間並列性を向上させたり、複数マクロタスクを融合することにより [7] 粒度を高め相対的オーバーヘッドを低減する最適化を行う。

例えば、上述の RB の定義では、Doall ループが 1 つのマクロタスクとして 1 つのプロセッサクラスタに割り当たってしまうため、プロセッサクラスタ内のプロセッサ台数分の並列性しか利用できない。この問題を解決するために、Doall ループは、分割後の各ループの処理時間がスケジューリング時間より大きい場合に限り、複数（現在はクラスタ台数個）の別々の Doall ループに自動分割される。この分割によりマクロデータフローにおける Doall 処理を、通常のループ並列化と同様、システム中の全プロセッサを用いて行なうことができる。OSCAR

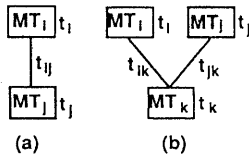


図 1: マクロタスク融合パターン

Rコンパイラでは、n イタレーションを持つ Doall ループがある場合、このループを $[n/m]$ (n :イタレーション数、 m :プロセッサクラスタ数) イタレーションからなる m 個の Doall ループに分割する方式をとっている。

また、上述のマクロタスク再分割が行われた後、マクロタスク間のデータ転送オーバーヘッド・スケジューリングオーバーヘッドを軽減するため、ヒューリスティック・マクロタスク融合法を適用する。マクロタスクの実行は条件分岐により実行時に決定されるため、全てのマクロタスクが実行されるとは限らない。そこで、本ヒューリスティック・マクロタスク融合法では、マクロタスクグラフ (MTG) 上に、図 1 に示すパターンのサブグラフが存在する場合、マクロタスク融合を試みる。本手法では図 1 のようなパターンが発見された場合、その部分グラフを並列処理する際のデータ転送及びスケジューリングオーバーヘッドを考慮した最小並列処理時間と、単一のプロセッサクラスタ上で処理する場合の処理時間を比較し、並列処理時間の方が大きい場合に、それらのマクロタスクを 1 つに融合する。

このようにマクロタスク間のデータ転送量が多いマクロタスクが融合されると、融合されたマクロタスクは同一プロセッサクラスタに割り当てられるため、プロセッサクラスタ間のデータ転送によるオーバーヘッド及びダイナミックスケジューリングオーバーヘッドが軽減される。

2.1.2 マクロフローグラフ (MFG) の生成

BPA, RB, SBなどのマクロタスク生成後、コンパイラはマクロタスク間の制御フロー、データフローを解析する。解析されたマクロタスク間の制御フロー、データフローは、図 2 に示すようなマクロフローグラフで表現される。図 2において、各ノードはマクロタスクを表し、ノード中の小円は、条件分岐を表している。またノード間の点線、実線はそれぞれマクロタスク間の制御フローおよびデータ依存を表している。図中で矢印は省略されているが、エッジの方向は全て下向きであることを仮定している。また、ループを構成する後方へのエッジ(バックエッジ)は RB の定義により RB 内部に含まれるため、MFG は一般に無サイクル有向グラフとなる。

2.1.3 マクロタスクグラフ (MTG) の生成

マクロフローグラフは、マクロタスク間のコントロールフローとデータ依存関係を陽に表わしたものであり、

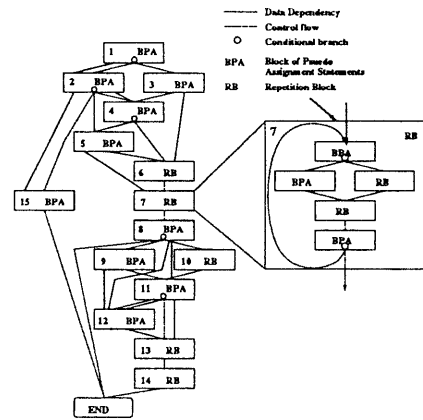


図 2: マクロフローグラフ

マクロタスク間の並列性を表現していない。マクロタスク間にデータ依存関係が存在しない場合には、コントロール依存グラフあるいはプログラム依存グラフ [10] と呼ばれるグラフにより最大の並列性を表現できる。しかしマクロタスク間には、普通、データ依存関係も存在する。従って、マクロフローグラフからマクロタスク間の並列性を効果的に抽出するためには、コントロール依存とデータ依存を同時に解析しなければならない。

本コンパイルレーション手法では、コントロール依存とデータ依存を考慮したマクロタスク間の最大の並列性を表わすものとして、各マクロタスクの最早実行可能条件 [2][5] を用いる。マクロタスク i (MT i) の最早実行可能条件とは、MT i が最も早い時点で実行可能となるための条件である。ただし、このマクロデータフロー処理における実行可能条件は、次のような実行条件を仮定して求められる。

- 1) マクロタスク i (MT i) がマクロタスク j (MT j) にデータ依存するならば、MT j の実行が終了するまでは MT i は実行を開始できない。
- 2) MT j の条件分岐先が確定すれば、MT j の実行が終了しなくとも、MT j にコントロール依存する MT i は実行を開始することができる。

MT i の最早実行可能条件の一般形は次の通りである。

$[(MT_i \text{ がコントロール依存する } MT_j \text{ が } MT_i \text{ に分岐する})]$

$AND((MT_i \text{ がデータ依存する全てのマクロタスク } MT_k (0 \leq k < |N|) \text{ の実行が終了する}) OR (MT_k \text{ が実行されないことが確定する}))]$

この条件において、AND の前の最初の条件がコントロール依存に起因する実行確定条件である。AND の

表1：最早実行可能条件の論理式表現

ブロック番号	実行開始条件
1	
2	
3	
4	
5	
6	
7	
8	
9	
10	
11	
12	
13	
14	
15	

i_j : T_i の実行が終了する
 i_j : T_i が T_j に分岐する
 i_j : T_i が T_j に分岐し T_i の実行が終了する

後の条件がデータ依存に起因するデータアクセス可能条件である。しかし、この条件式は冗長な項を含んでいるので、OSCAR Fortran コンパイラでは、冗長な条件を排除した最早実行可能条件を自動的に生成している。最早実行可能条件における冗長な条件を排除することは、ダイナミックスケジューリングによるオーバーヘッドを減らすために重要である。図2のマクロフローグラフの各マクロタスクの最早実行可能条件を表1に示す。Girkar と Polychronopoulos は、この実行可能条件の研究結果 [2][5][15] を利用し、若干の変更を加えた同様のアルゴリズムを発表している [11]。

マクロタスクの最早実行可能条件は図3に示すようなマクロタスクグラフ (MTG) と呼ばれる無サイクル有向グラフで表すことができる。MTGにおいて各ノードはマクロタスクを表す。点線のエッジは拡張されたコントロール依存を示し、実線エッジはデータ依存を表す。この拡張コントロール依存エッジは、通常のコントロール依存だけでなく、MTGのノード内の小円を起点とするデータ依存先行タスクが実行されないための条件も表わしている。MTG中のノード内の小円を起点とするデータ依存エッジつまり実線のエッジは、コントロール依存とデータ依存の2つを同時に表している(表1中の i_j に対応)。図中のエッジを束ねている実線のアーケは、そのアーケによって束ねられたエッジが互いに AND の関係にあることを示す。点線のアーケは、そのアーケで束ねられたエッジが互いに OR の関係にあることを示す。ノードの内の小円は、MFG と同様条件分岐を表している。このMTGにおいてもエッジの向きは下向きと仮定しており、ほとんどの矢印は省略されている。矢印がついているエッジは、MFG 上のオリジナルな分岐方向を表すエッジである。

2.1.4 ダイナミックスケジューリングコードの生成

マクロデータフロー処理では、条件分岐やマクロタスクの実行時間の変動のような、実行時不確定性の問題に対処するため、マクロタスクを実行時にプロセッサクラスター (PC) あるいはプロセッサ (PE) に割り当てる

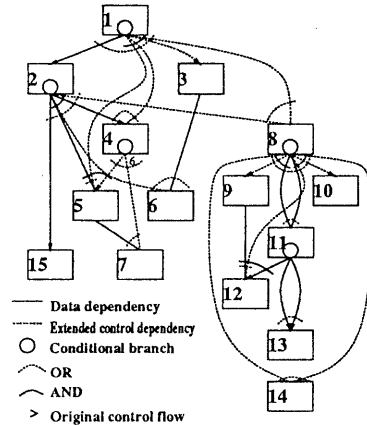


図3: マクロタスクグラフ

る方式をとる。このダイナミックスケジューリングは、粗粒度タスクに対して適用されるため、スケジューリングオーバーヘッドは相対的に小さく抑えられる。さらに本手法では、OSコール等を用いず、コンパイラにより生成されたダイナミックスケジューリングルーチンを使用するため、さらにオーバーヘッドを小さく抑えることができる。このスケジューリングルーチンは任意のプロセッサ (PE) 上で実行可能である。

ダイナミックスケジューリングアルゴリズムは、スタティックスケジューリングアルゴリズムであるCP法 [2] をダイナミックスケジューリング用に拡張したDynamica-mic-CP法を用いる。このDynamica-mic-CP法は、MTG上の各マクロタスクから出口ノードまでの最長パスに基づいて作成されるプライオリティに従って、スケジューリングルーチンが実行時にマクロタスクをPCへ割り当てる手法である。

2.2 中粒度並列処理

前節で述べたように、マクロタスクは実行時にPCに割り当たる。PCに割り当たったマクロタスクがDoallループで構成されている場合、このマクロタスクは、PCの内部のPEによって中粒度なわちイタレーションレベルの粒度で並列処理される。Doallに関しては、セルフスケジューリング、チャンクスケジューリング、ガイデッドセルフスケジューリングなどといついくつかのダイナミックスケジューリングの手法が提案されている [2][12]。しかし、OSCARが、イタレーションをダイナミックスケジューリングするためのハードウェアをもっていないということと、データのローカリティを高めるという理由で、スタティックスケジューリングを用いて、同数のイタレーションを各プロセッサに割り当てている。

PCに割り当てられたマクロタスクが、イタレーション間にデータ依存のあるループの場合、コンパイラは同期オーバーヘッドを短縮するリストラクチャリング[1][13]を適用し、その時のDoacross処理時間を推定する。次に、コンパイラはDoacrossの推定処理時間と、2.3で述べるループボディの細粒度並列処理の場合の推定処理時間を比較する。Doacross処理時間が細粒度並列処理時間より短い場合はDoacrossのコードを生成する。

2.3 細粒度並列処理

PCに割り当てられたマクロタスクがBPAである場合、マクロタスクは1ステートメントからなる細粒度タスク[6]に分割され、PC内部のPEで並列処理される。

2.3.1 タスク生成とタスクグラフ生成

BPAを効率よく並列処理するためには、並列性が十分得られ、なおかつデータ転送や同期によるオーバーヘッドができるだけ少なくなるように、BPAをタスクに分割することが必要である。本論文では、OSCARの処理能力やデータ転送能力を考慮して、細粒度タスクの粒度としてステートメントレベルの粒度を用いている。

```
<< LU Decomposition >>
1)  $t_{12} = a_{12} / l_{11}$ 
2)  $t_{24} = a_{24} / l_{22}$ 
3)  $t_{34} = a_{34} / l_{33}$ 
4)  $t_{54} = -l_{52} * u_{24}$ 
5)  $t_{45} = a_{45} / l_{44}$ 
6)  $t_{55} = a_{55} - l_{54} * u_{45}$ 

<< Forward Substitution >>
7)  $y_1 = b_1 / l_{11}$ 
8)  $y_2 = b_2 / l_{22}$ 
9)  $b_5 = b_5 - l_{52} * y_2$ 
10)  $y_3 = b_3 / l_{33}$ 
11)  $y_4 = b_4 / l_{44}$ 
12)  $b_5 = b_5 - l_{54} * y_4$ 
13)  $y_5 = b_5 / l_{55}$ 

<< Backward Substitution >>
14)  $x_4 = y_4 - u_{45} * y_5$ 
15)  $x_3 = y_3 - u_{34} * x_4$ 
16)  $x_2 = y_2 - u_{24} * x_4$ 
17)  $x_1 = y_1 - u_{12} * x_2$ 
```

図4: 細粒度タスクの例

図4はクラウト法によるスパース行列の求解を、シンボリックジェネレーション法を用いてループフリーコードに展開して行うプログラムである。この基本ブロック内のステートメントをタスクと定義すると、タスク間にデータ依存[1][3]が存在する。データ依存をなすタスク間の先行制約は図5に示すようなタスクグラフと呼ばれる無サイクル有向グラフで表される。図中、各タスクは各ノードに対応している。図5においてノードの内の数字はタスク番号*i*を表し、ノードの脇の数字はPE上でのタスク処理時間*t_i*を表す。N_iからN_jに向かって引かれたエッジはタスクT_iがT_jに先行するという部分的な順序制約を表す。タスク間のデータ転送も考慮す

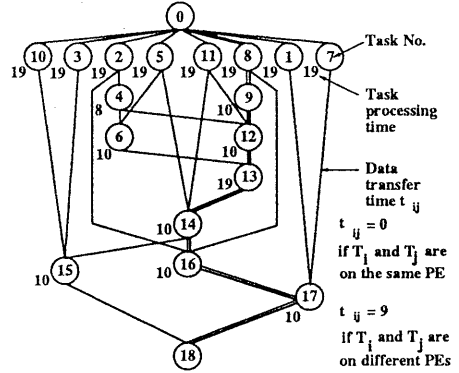


図5: タスクグラフ

る場合には各々のエッジは通常、可変の重みを持つ。この重みt_{ij}は、タスクT_iとT_jが異なるPEに割り当てられた場合には、2つのタスク間のデータ転送時間となる。また、2つのタスクが同じPEに割り当てられた場合は、重みt_{ij}は0またはレジスタあるいはローカルメモリへのアクセス時間となる。

また、OSCARでは、後述のように命令を1クロックで実行するRISCプロセッサを採用しているので、コンパイル時にタスク処理時間を正確に求めることができる。

2.3.2 スタティック・マルチプロセッサ・スケジューリング・アルゴリズム

タスク集合をマルチプロセッサ上で効率よく処理するためには、タスクのPEへの最適な割当、および同一プロセッサでのタスクの最適な実行順序の決定を行わなければならない。タスクの最適な割当て、及び最適な実行順序の決定問題は、実行時間最小マルチプロセッサスケジューリング問題として扱うことができる。OSCARコンパイラでは、スケジューリングに要する時間と生成されるスケジュールの質の双方を考えて、データ転送時間を考慮したヒューリスティックアルゴリズムであるCP/DT/MISF法(Critical Path / Data Transfer / Most Immediate First)[2][14]を採用している。

2.3.3 マシンコード生成

実際のマルチプロセッサ上で細粒度並列処理を効率良く行うためには、スタティックスケジューリング結果を用いて最適な並列マシンコードを生成する必要がある。本コンパイル手法では、スケジューリング結果から次のような情報を使用する。1) 各PEでどのタスクが実行されるか。2) 同一のPEで実行されるタスクの実行順序。3) いつ、どのPE上のどのタスク間でデータ転送、及び同期が必要か。

従って、P Eに割り当てられたタスクの命令列を順番に並べ、データ転送命令や同期命令を必要な箇所に挿入することにより、各P Eのマシンコードを生成することができる。OSCARコンパイラは、タスク間で同期をとるためにバージョンナンバー法[14]を用い、また、各B PAの最後の部分で同期をとるために、OSCARのハードウェアでサポートしているバリア同期命令を各P Eのプログラムに挿入する。

2.4 階層的マクロデータフロー処理

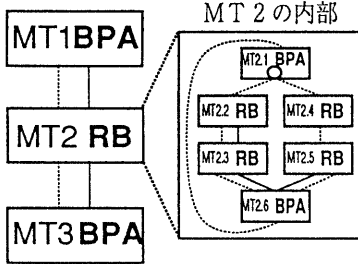


図 6: 階層的なマクロフローグラフ

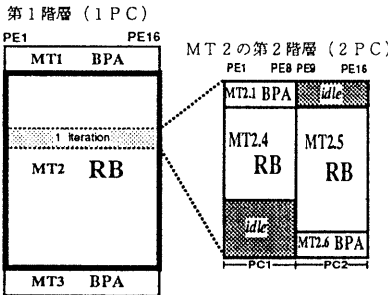


図 7: 階層的マクロデータフロー処理

2.1.1で述べたマクロタスク生成法により生成されたマクロタスク数が非常に少ない場合、例えばプログラム全体が大規模ループであるような場合や、マクロタスク間に複雑なデータ依存が存在してマクロタスク間の並列性が少なく、かつ、各マクロタスク内で、中粒度並列性あるいは細粒度並列性が有効に利用できない場合には、上述のマルチグレイン並列処理手法では効率よい並列処理が行えない。そこで、各マクロタスク内部でマクロタスク（サブマクロタスク）を定義し、サブマクロタスク間並列性（階層的マクロタスク間並列性）を利用することを考える。すなわち、単階層マクロデータフロー処理

手法を拡張し、マクロタスク内部に対して、マクロデータフロー処理を階層的に適用する方式をとる。

階層的マクロデータフロー処理では、ループ並列化が不可能なRBのループボディやSBの内部で、B PA, RB, SB等の（サブ）マクロタスクを生成する。その際、プロセッサに関しても、プロセッサクラスタ（PC）内でさらにプロセッサをグループ化し（サブ）PCを定義し、階層的なマクロデータフロー処理を可能とする。

例えば、図6のマクロフローグラフに対して、階層的マクロデータフロー処理を適用した場合の実行イメージを図7に示す。図7では全体のプログラム（第0階層マクロタスク）を分割して生成したマクロタスクを第1階層プロセッサクラスタ（図7左側）に割り当てる。そしてさらに、MT2の大規模ループ内（ループボディ）を（サブ）マクロタスクに分割し、それらのマクロタスクを、第2階層プロセッサクラスタ（図7右側：図中では2クラスタ）に割り当て、マクロデータフロー処理を行う。

3 OSCARのアーキテクチャ

本章では、OSCAR Fortranコンパイラの性能評価のために使用したマルチプロセッサシステムOSCARのアーキテクチャ[9]（図8）を簡単に説明する。

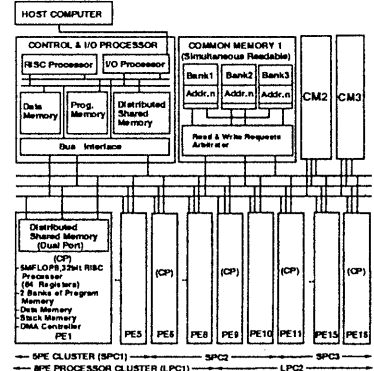


図 8: OSCARのアーキテクチャ

OSCARは、ローカルメモリと分散共有メモリを持つプロセッサエレメント16台を、集中型の共有メモリ（CM）に3本のバスで接続した共有メモリ型マルチプロセッサシステムである。OSCARの各P Eは、32ビットRISCプロセッサで、ローカルデータメモリ（DM）とローカルプログラムメモリ（PM）、分散共有メモリ（DPM）、DMAコントローラから成り立っている。各集中型共有メモリモジュールの内部は3バンクに分けられており、3P Eが同一アドレスを同時に読み出すことを可能としている。また各バスはバリア同期用のハード

ウェアを持っており、同時に3つまでのパリア同期を数クロックでとることができる。またDMAコントローラは、CMからPEへのブレロードとPEからCMへのポストストアを可能にしている。

OSCARは、PEを共有メモリに平等結合したアーキテクチャとなっているが、複数のプロセッサエレメントをグループ化し、1本のバスを割り当てることにより、3クラスタまでのマルチプロセッサクラスタシステムを効率よくシミュレートできる。OSCARでは、各プログラムの粗粒度タスク間の並列性に応じ、全プロセッサを2または3プロセッサクラスタに分け、マクロデータフロー処理を行うことができる。その際、各クラスタでは、内部のプロセッサエレメントを用いて、各マクロタスクを中粒度（Doallループにおけるイタレーションレベル）、細粒度（基本ブロック及びシーケンシャルループのステートメントレベル）、または粗粒度（マクロタスク内のRB、BPA、SBレベル）で階層的に並列処理することができる。

4 OSCAR上での性能評価

本章、OSCAR上でのマルチグレイン並列処理の性能評価について述べる。

4.1 マルチグレイン並列処理の性能評価

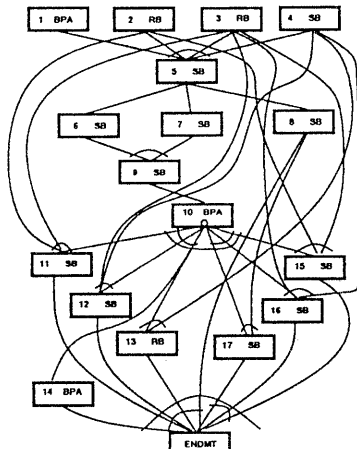


図9: マルチグレイン並列処理評価プログラムのMTG

図9は、RB、SB、BPAの17個のマクロタスクからなるFortranサンプルプログラムから生成したマクロタスクグラフである。

図9で示されるMTGをOSCAR上で並列実行したときの実行トレースを図10に示す。図10(a)は、1PEでプログラムをシーケンシャルに実行した時の実行ト

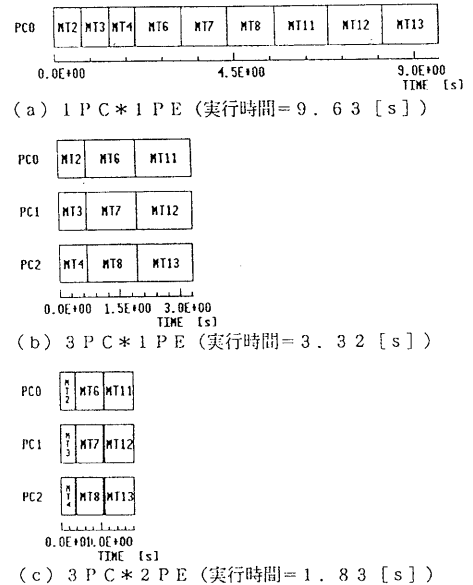


図10: マルチグレイン並列処理の実行トレース

レースである。この場合の実行時間は、9.63[s]である。図10(b)は、各々が1PEからなる3つのPCで、マクロデータフロー処理だけを行って実行した場合の実行トレースであり、実行時間は、3.32[s]である。さらに、図10(c)は、各々が2PEを持つ3つのPC(つまり6PE)を使用して、マルチグレイン並列処理を行った実行トレースであり、実行時間は1.83[s]である。このトレースを見ると、マクロタスクとマクロタスク間のダイナミックスケジューリングのオーバーヘッドが極めて小さいことが分かる。また、この実行トレースから、本論文で提案したマルチグレイン並列処理によって、マクロタスク間とマクロタスク内部の並列性を効果的に引き出せていることが確認できる。

4.2 階層的マクロデータフロー処理における性能評価

ここで、使用するプログラムは連立1次方程式間接解法の一つであるCG法のプログラムである。図11に、CG法プログラムのマクロタスクグラフを示す。このCG法のプログラムでは、第1階層マクロタスクMT1からMT13までは小規模ループまたは基本ブロックであり、MT14のみが大規模ループで、実行時間のほとんどがこのループで消費される。この第1階層マクロタスクグラフを2PC上でマクロデータフロー処理すると、MT14は単一PCに割り当たられるため、他方のPCはアイドル状態になってしまう。

そこで、階層化マクロデータフロー処理手法により、MT14をサブマクロタスクに分割し、その内部で図11

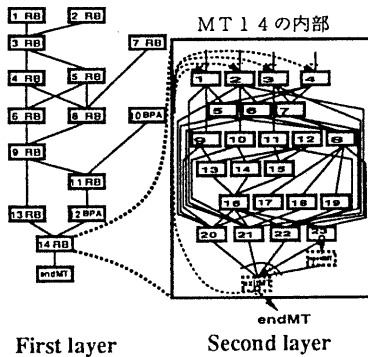


図 11: CG 法のマクロタスクグラフ

右側のように第2層のマクロタスクグラフを作成する。この第2階層マクロタスクは、全てが小規模ループまたは基本ブロックからなり、マクロタスク間にも比較的多くの並列性が存在する。このため、第1階層マクロタスクを第0階層 PC (すなわち全PEから構成される 1 PC) で処理し、第2階層のマクロタスクを第1階層 PC (2 PC) で処理することにより、並列処理をより効率良く行うことができる。

このプログラムを OSCAR 上の 1 プロセッサを用いて実行したときの実行時間は、0.431[s] であった。次に、各々が 3 PE からなる 2 PC (すなわち計 6 PE) 上で、単階層マクロデータフロー処理を行い並列処理した場合の実行時間は、0.147[s] であり、1 プロセッサで実行した場合の 2.93 倍のスピードアップであった。これに対して、階層的マクロデータフロー処理を適用した場合は、0.086[s] であり、1 プロセッサで実行した場合の 5.02 倍のスピードアップを得ることができた。

5 むすび

本論文では、Fortran プログラムのマルチグレインコンパイルーション手法について述べた。本マルチグレイン並列化コンパイラは、OSCAR 上で行った性能評価の結果からもわかるように、粗粒度、中粒度、細粒度タスクの並列性を自動抽出し、効率のよい並列処理を可能とすることが確かめられた。さらに、マクロタスク分割・融合、階層的マクロデータフロー処理の実現により、より高い並列処理効果が得られることも確認された。融合されたマクロタスク内でのデータローカライゼーションの実現、また、階層的マクロデータフロー処理における、プロセッサの最適クラスタリングおよびマクロデータフロー処理を適用するマクロタスク階層の自動決定手法の開発が今後の研究課題である。

参考文献

- [1] D.A.Padua, M.J.Wolfe: "Advanced Compiler Optimizations for Super Computers", C.ACM, 29, 12, pp.1184-1201 (Dec.1986).
- [2] 笠原: "並列処理技術", コロナ社 (1991-06).
- [3] U.Banerjee: "Dependence Analysis for Supercomputing", Kluwer Academic, Pub. (1988).
- [4] A.V.Aho,R.Sethi and J.D.Ullman: "Compilers(Principles, Techniques, and Tools)", Addison Wesley (1988).
- [5] 本多, 岩田, 笠原: "Fortran プログラム粗粒度タスク間の並列性検出手法", 信学論 (D-I), J73-D-I, 12, pp.951-960 (1990-12).
- [6] 本多, 水野, 笠原, 成田: "OSCAR 上での Fortran プログラム基本ブロックの並列処理手法", 信学論 (D-I), J73-D-I, 9, pp.756-766 (1990-09).
- [7] 笠原, 合田, 吉田, 岡本, 本多: "Fortran マクロデータフロー処理のマクロタスク生成手法", 信学論 (D-I), J75-D-I, 8, pp.511-525 (1992-08).
- [8] 岡本, 合田, 尾形, 吉田, 本多, 笠原: "Fortran プログラムの階層的マクロデータフロー処理", 情処研報, 92-ARC-95, pp.105-112 (1992-08).
- [9] 笠原, 成田, 橋本: "OSCAR のアーキテクチャ", 信学論 (D), J71-D, 8 (1988-08).
- [10] J.Ferrante, K.J.Ottenstein, J.D.Warren : "The Program Dependence Graph and Its Use in optimization", ACM Trans. on Prog. Lang. and Syst, 9, 3, pp.319-349 (Jul.1987).
- [11] M.Girkar and C.D.Polychronopoulos: "Optimization of Data/Control Conditions in Task Graphs", Proc. 4th Workshop on Languages and Compilers for Parallel Computing (Aug.1991).
- [12] C.D.Polychronopoulos: "Parallel Programming and Compilers", Kluwer Academic Pub. (1988).
- [13] M.Wolfe: "Optimizing Supercompilers for Supercomputers", MIT press (1989).
- [14] H.Kasahara, H.Honda, S.Narita: "Parallel Processing of Near Fine Grain Tasks Using Static Scheduling on OSCAR", IEEE ACM Supercomputing'90 (Nov.1990).
- [15] H.Kasahara,H.Honda,M.Iwata and M.Hirota:"A Macro Data-flow Compilation Scheme for Hierarchical Multiprocessor System", Proc.Int'l Conf.on Parallel Processing(Aug.1990).